

# CD\*A 晶体的倍频实验

潘忠汉 崔益本

(中国科学院安徽光学精密机械研究所)

寻求高功率、高效率的倍频晶体及其实验技术,砷酸盐类晶体是理想的一类,其中 CD\*A (砷酸二氘铯)是较为成功的一例。这是因为它的匹配角宽度,匹配温度宽度和光谱匹配宽度都比其它倍频晶体宽,如表 1 所示<sup>[1,2]</sup>; 抗激光损伤能力强,光损伤阈值为 300—500MW/cm<sup>2</sup><sup>[3]</sup>,仅次于磷酸盐类晶体,对钕激光能够 90° 相位匹配。然而 CD\*A 的非线性系数  $d_{36}$  低(与磷酸盐类晶体相近),约为  $3.72 \times 10^{-22}$ (mks),但是由于它能 90° 相位匹配和抗激光损伤能力强,所以允许采用增加晶体长度和提高基波功率密度的方法提高 CD\*A 的倍频效率和倍频输出。

本文报道重复率 YAG:Nd<sup>3+</sup> 激光泵浦,非

表 1 若干倍频晶体的匹配宽度(基波 1.06 μm)

晶体	温度匹配宽度 $\Delta t$ (°C·cm)	角度匹配宽度 $\Delta\theta$ (mrad·cm)	光谱匹配宽度 $\Delta\lambda$ (Å·cm)
CDA	5.8	69	~100
CD*A	6	70	~100
BNN	0.5	43	
LiNbO <sub>3</sub>	0.6	47	2.3
KDP	3.4	1	6
KD*P	6.7	1.7	65

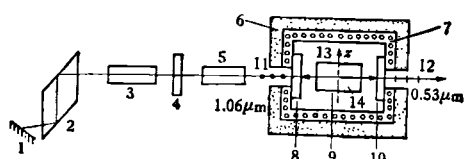


图 1 CD\*A 倍频实验方块图

1. 1.06 μm 全反镜;
2. 双 45° LiNbO<sub>3</sub> 调 O 晶体;
3. YAG:Nd<sup>3+</sup> 振荡棒;
4. 平板玻璃腔片;
5. YAG:Nd<sup>3+</sup> 放大棒;
6. 保温部分;
7. 加热部分;
8. 倍频输入窗口;
9. 倍频晶体 CD\*A;
10. 倍频输出窗口;
11. ● 光振动方向;
12. e 光振动方向;
13. CD\*A 的光轴方向;
14. CD\*A 晶体

临界相位匹配的 CD\*A 腔外双向倍频,其实验方块图如图 1 所示。

YAG:Nd<sup>3+</sup> 振荡器采用双平板腔,一级放大后,脉宽 20ns,发散角 3mrad,当基波 1.06 μm 能量 600mJ 时,二次谐波能量 160mJ,脉宽 15 ns,所以倍频的能量转换效率为 27%,功率转换效率为 36%,这是多模情况。据报道,如果改进基波的横模,则倍频效率可达到 60%<sup>[1]</sup>。

CD\*A 按照 45°y, 90°z 切割,长 10—13 mm,密封在一个恒温槽里,恒温可调范围 40—120°C,温度稳定性 <0.1°C。在保证 1.06 μm 输出特性不变条件下,恒温槽自 90°C 开始升温,每隔 0.3°C 为一个温度点,在每个温度点上,三次测出 0.53 μm 能量且取平均值,即为 CD\*A 在该点温度时的能量。按照此法测到 109.8°C,其中能够准确测量的可取温度范围为 98.1—106.8°C,最后得到温度匹配曲线如图 2 所示。

从图 2 中可知,最佳匹配温度点  $T_{pm}$  =

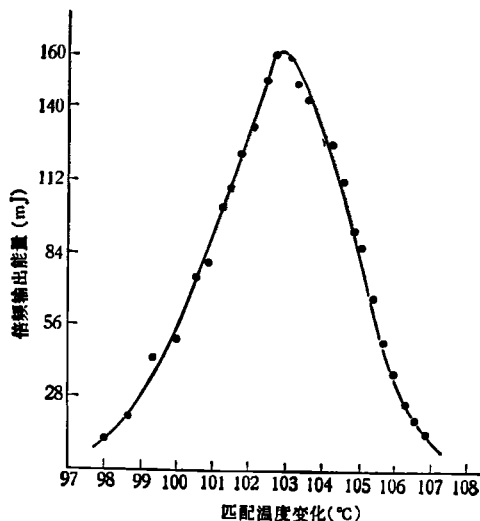


图 2 CD\*A 倍频的温度匹配曲线

102.8°C，温度匹配的半宽度  $\Delta t = 105.12^\circ\text{C} - 100.86^\circ\text{C} = 4.26^\circ\text{C}$ 。而按照 CD\*A 的温度匹配宽度公式<sup>[4]</sup>为

$$\Delta t = \frac{\lambda_1}{2.26l} \times \frac{1}{d(n_s^2 - n_i^2)/dt}, \quad (1)$$

其中  $\lambda_1$  为基波波长  $1.06\mu\text{m}$ ;  $l$  为 CD\*A 晶体的作用长度  $12\text{mm}$ ;  $n_s^2$  为二次谐波的非寻常光折射率;  $n_i^2$  为基波的寻常光折射率;  $d(n_s^2 - n_i^2)/dt$  为双折射随温度的变化量, 其值为  $(7.8 \pm 0.2) \times 10^{-6}/^\circ\text{C}$ <sup>[5]</sup>。将以上数据代入 (1) 式, 计算出  $\Delta t = 5.02^\circ\text{C}$ , 这表明实验结果与理论值基本相符。

$T_{\text{pm}}$  与 CD\*A 的组分、承受的激光功率、特别与氘化程度有关。所以 CD\*A 的  $T_{\text{pm}}$  之取值范围, 一般为  $98-112^\circ\text{C}$ , 例如氘化 80%,  $T_{\text{pm}}=102^\circ\text{C}$ , 氘化 99%,  $T_{\text{pm}}=112^\circ\text{C}$ 。本实验中, 当 YAG:Nd<sup>3+</sup> 激光的工作重复率为 1 次/s,  $T_{\text{pm}} = 102.8^\circ\text{C}$ , 随着重复率上升;  $T_{\text{pm}}$  必须相应地稍有下降, 才能保持最佳匹配状态, 这是因为随着激光平均功率的提高, CD\*A 自身受热温度增加。

CD\*A 的潮解值得注意, 理想的方法是浸在折射率匹配的 FC (碳氢化合物) 类型溶液中, 或者在通光面上镀防潮兼增透膜。本实验采用恒温方法, 既能满足  $90^\circ$  匹配所须的温度, 又能防潮。因为二端窗口膜片密封恒温槽, 这样能够提高温度稳定性和防潮作用。此外, 因为输出窗口膜片对  $1.06\mu\text{m}$  全反, 对  $0.53\mu\text{m}$  高透, 故有二种作用, 一是去除倍频光  $0.53\mu\text{m}$  中

的  $1.06\mu\text{m}$  成分; 二是被全反的  $1.06\mu\text{m}$  激光, 再对 CD\*A 进行反向泵浦, 输入窗口膜片(对  $1.06\mu\text{m}$  高透, 对  $0.53\mu\text{m}$  全反), 把这种反向泵浦的倍频光变成有用的正向输出, 本实验测得反向倍频能量约为正向倍频能量的三分之一。

$90^\circ$  匹配无光孔效应, 允许很长的晶体作用长度, 但是国内 CD\*A 尺寸有限, 所以采用“串接倍频增强”效应。我们采用长  $12\text{mm}$ ,  $9\text{mm}$  二块 CD\*A 串接 (按理同长度), 倍频光输出  $184\text{mJ}$ , 比单块增加  $24\text{mJ}$ 。串接晶体之间距离尽可能小, 注意到它们之间的匹配、方位和偏振方向的一致性。

为了 CD\*A 匹配温度达到最佳工作状态, 高效率的倍频, 则恒温槽的温度稳定性和温场均匀性是很重要的。为此, 我们对恒温槽的结构和工艺方面, 如加热筒, 加热丝, 保温材料, 感温元件, 两端加热, 控温和测温等, 都应合理的设计, 并要通过多次试验, 才能满足 CD\*A 的温度匹配要求。

新疆冶金科学研究所研制并供给 CD\*A 晶体。

## 参 考 文 献

- [1] M. L. Stich, *Laser Handbook*, North-Holland, Vol. 3, (1979), 448—457.
- [2] Koechner Walter, *Solid state Engineering*, Springer-Verlag, (1979), 511—515.
- [3] C. Brock Hitz, *Laser Focus*, 12(1976), 32—35.
- [4] R. M. Kogan et al., *Opt. Engin.*, 17-2(1978), 122.
- [5] K. Kato, *IEEE J. Quantum Electron.*, QE-10 (1974), 616.

## 用 X 射线衍射的驻转法测量半导体单晶片

林振金 刘玉梁 林志南 彭梦华

(北京师范大学物理系)

用 X 射线衍射仪进行多晶分析和粉末样品分析是很方便和精确的, 但是对于单晶样品的分析则有困难, 因为分析单晶样品要用四圆 X

射线衍射仪, 而目前国内尚无这种商品。为了充分发挥多晶衍射仪的使用效率, 做到一机二用, 可以运用衍射驻转法对仪器稍加改装。为